

промежутке при напряженности электрического поля до  $3 \cdot 10^6$  В/м, не происходит. Показано, что существенное значение для инициирования пробоя имеет такой параметр, как давление насыщенных паров материала электрода.

### Список литературы

- [1] Вакуумные дуги. Теория и приложения / Под ред. Дж. Лафферти. М.: Мир, 1982. 432 с.  
 [2] Четтертон П. А. Электрический пробой в вакууме. М., 1983. 111 с. Chatterton P. A. // Electrical Breakdown of Gases / Ed. J. M. Meek, J. D. Griggs. 1978. Ch. 2. P. 129—208.

Поступило в Редакцию  
 19 ноября 1990 г.  
 В окончательной редакции  
 5 мая 1991 г.

10; 12

Журнал технической физики, т. 61, в. 10, 1991

© 1991 г.

## СИЛЬНОЕ ОТРАЖЕНИЕ И РАССЕЯНИЕ ВОЛНЫ РЭЛЕЯ НА РЕЗОНАТОРЕ

В. П. Плесский, А. В. Симонян

В недавних работах [1-3] было показано, что в области сильной неоднородности поверхности упругого тела (например, выступа с квадратным сечением) могут существовать локализованные акустические колебания «поверхностные резонансы» [1], затухающие во времени из-за излучения акустической энергии в глубь упругого полупространства. Добротность этих резонансов определяется геометрией структуры и может составлять от единиц до нескольких десятков.

В данной работе мы рассмотрим отражение и рассеяние волны Рэлея на простейшем поверхностном резонаторе — грузике массы  $m$ , прикрепленном к участку поверхности шириной  $2a$  через пружину жесткости  $K$  (рис. 1). Задача считается двумерной, т. е. величины  $m$  и  $K$  берутся в расчете на 1 см. Рассматриваются два случая. В первом (рис. 1, а) резонатор реагирует только на вертикальные смещения поверхности, во втором (рис. 1, б) — на горизонтальные. Движение изотропной упругой среды будем описывать, вводя, как обычно [4-6], скалярный потенциал  $\varphi$  (соответствующий волнам сжатия) и векторный потенциал  $\vec{\psi}$  волны сдвига), который в нашей двумерной задаче имеет одну ненулевую компоненту  $\vec{\psi} = (0, 0, \psi)$ .

Общее решение волновых уравнений можно записать в виде

$$\varphi = \varphi_0 e^{p_0 y + i q_0 x} + \int_{-\infty}^{+\infty} \varphi(q) e^{p y + i q x} dq, \quad \psi = \psi_0 e^{s_0 y + i q_0 x} + \int_{-\infty}^{+\infty} \psi(q) e^{s y + i q x} dq, \quad (1)$$

где первые слагаемые описывают падающую слева на резонатор волну Рэлея, а вторые слагаемые соответствуют всему спектру рассеянных и отраженных волн. Ветви неоднозначных функций  $p = \sqrt{q^2 - k_l^2}$ , и  $s = \sqrt{q^2 - k_t^2}$  ( $k_l, k_t = \omega/v_l, k_t = \omega/v_t$  — волновые числа продольной и поперечной объемных волн,  $\omega$  — частота,  $v_l$  и  $v_t$  — соответствующие скорости) выбираются так, чтобы колебания либо спадали в глубь полупространства (т. е. если  $p, s$  действительные, то  $p, s > 0$ ), либо волны излучались от резонатора (т. е.  $\text{Im } p, s < 0$ ). Величины с индексом ноль в (1) удовлетворяют уравнению Рэлея  $D(q_0, \omega) = 4p_0 s_0 q_0^2 - (q_0^2 + s_0^2)^2 = 0$ . При этом амплитуды  $\varphi_0$  и  $\psi_0$  пропорциональны друг другу. Решение задачи в нашей модели сильно упрощается тем обстоятельством, что неизвестной величиной является одно число — смещение поверхности  $u_0 e^{-i\omega t}$  в точке  $x=0$  (обла-

сти прикрепления резонатора). Задав это смещение, находим силу  $F = ku_0 e^{-i\omega t} \times \omega_0^2 / (\omega_0^2 - \omega^2)$ , с которой резонатор действует на упругое полупространство, создавая напряжение  $\sigma_{yy} = F/2a$  (или  $\sigma_{xy} = F/2a$  во втором случае). Зная эти напряжения, мы решаем двумерную задачу Лэмба [5] и находим (с точностью до неизвестного множителя  $u_0$ ) спектры рассеянных волн  $\varphi(q)$  и  $\bar{\psi}(q)$ . Подставляя эти спектры в формулы (1), находим смещение поверхности в точке  $x=0$

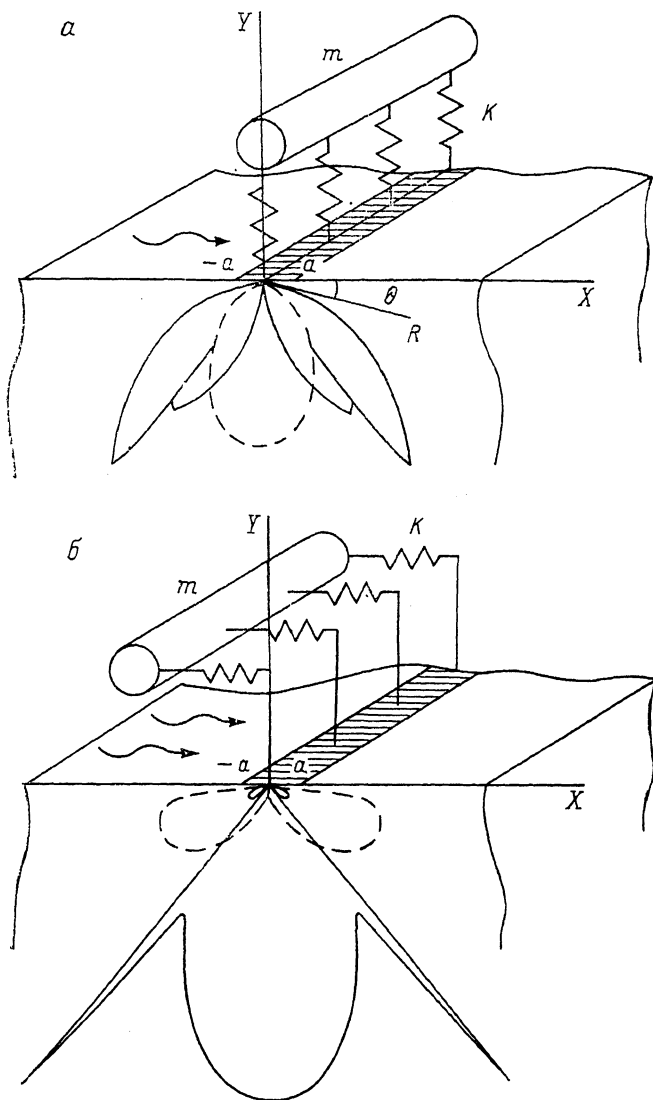


Рис. 1. Модель резонатора.

и таким образом получаем уравнение для определения  $u_0$ , а значит, и всех остальных величин. Описанная процедура дает решение

$$u_0 = -p_0 k_1^2 \varphi_0 / [(q_0^2 + s^2) \cdot (1 - \varepsilon \cdot I \cdot \omega^2 / (\omega_0^2 - \omega^2))],$$

$$\varphi(q) = -u_0 \frac{\varepsilon \Pi(q) \cdot (q^2 + s^2)}{D(q)} \frac{\omega^2}{\omega_0^2 - \omega^2}, \quad \psi(q) = -2i \frac{qp}{q^2 + s^2} \varphi(q), \quad (2)$$

где

$$I = \int_{-\infty}^{+\infty} p \cdot k_1^2 \cdot \Pi(q) / D(q) dq.$$

Здесь  $\omega$ ,  $q_0$  и  $\psi_0$  — частота, волновое число и амплитуда падающей волны;  $\Pi(q) = \sin qa / (\pi qa)$  — фурье-образ функции, описывающей распределение напряжений, создаваемых резонатором на полюсе  $-a < x < a$ ;  $D(q) = 4q^2 ps - (q^2 + s^2)^2$  — рэлеевский определитель, обращающийся в нуль при  $q = q_0$  и имеющий точки ветвления при  $q = \pm k_i$ ;  $\pm k_i$ . Собственная частота резонатора равна  $\omega_0 = \sqrt{K/m}$ ,  $\varepsilon = K / (2 \cdot \rho)$  — основной параметр задачи ( $\varepsilon \equiv 2 \cdot \pi^2 \cdot m / (\lambda_i^2 \cdot \rho)$ ), где  $\rho$  — плотность звукопровода. Физический смысл параметра  $\varepsilon$  в том, что масса резонатора сравнивается с массой звукопровода с размерами  $\lambda_i \times \lambda_i$  под резонатором ( $\lambda_i$  — длина сдвиговой волны на частоте  $\omega_0$ ).

Вычет в полюсе  $q = -q_0$  в интегралах (1), (2) позволяет рассчитать коэффициент отражения  $R$  волны Рэля от резонатора, а вычет в полюсе  $q = q_0$  (с учетом

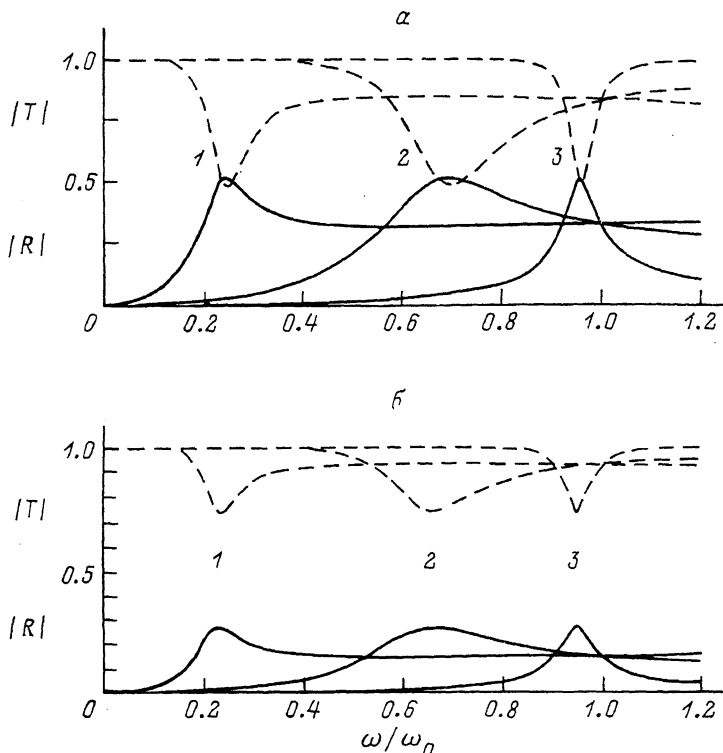


Рис. 2.

а: 1 — 10, 2 — 1, 3 — 0.1.

наличия падающей волны) — коэффициент прохождения  $T$  волны через резонатор

$$R = 2i\pi \frac{\varepsilon p_0 \Pi(-q_0) \cdot k_i^2 / D'_q|_{q=-q_0}}{1 - \omega_0^2 / \omega^2 + \varepsilon \cdot I}, \quad T = 1 + 2i\pi \frac{\varepsilon p_0 \Pi(q_0) \cdot k_i^2 / D'_q|_{q=q_0}}{1 - \omega_0^2 / \omega^2 + \varepsilon \cdot I}.$$

Вполне аналогичные выражения для второго случая здесь не приводятся. На рис. 2, а (случай вертикального резонатора) и б (горизонтальный резонатор) показана зависимость  $|T|$  (штриховые кривые) и  $|R|$  от частоты падающей волны при нескольких значениях параметра  $\varepsilon$ . Отметим, что с увеличением  $\varepsilon$  резонансная частота уменьшается, т. е. упругое тело играет роль дополнительной пружины, присоединенной последовательно. Максимальное значение модуля коэффициента отражения  $|R|_{\max}$  в нашей модели зависит только от коэффициента Пуассона  $\sigma$  материала подложки (рис. 3).

Амплитуды продольной  $\varphi_p$  и поперечной  $\psi_p$  рассеянных в объем волн вдали от резонатора ( $R \cdot k_i \cdot l \gg 1$ ) можно найти, вычислив интегралы (1), (2), по методу перевала

$$\begin{aligned}\varphi_p &= k_t \varphi(q = k_t \cos \theta) \cdot \sin \theta \cdot \sqrt{2\pi_j(k_t R)} \cdot e^{i(k_t R - \pi/4)}, \\ \psi_p &= k_t \psi(q = k_t \cos \theta) \cdot \sin \theta \cdot \sqrt{2\pi_j(k_t R)} \cdot e^{i(k_t R - \pi/4)}.\end{aligned}\quad (3)$$

Здесь функции  $\varphi(q)$  и  $\psi(q)$  даются формулами (2),  $R$  и  $\theta$  — полярные координаты точки наблюдения.

Рассчитывая коэффициенты преобразования волны Рэлея в объемные волны при ее рассеянии на резонаторе удобно иметь дело с потоками энергии [6, 7]. На рис. 1 в полярных координатах схематически показаны диаграммы направленности рассеянных продольных (штриховые линии) и поперечных объемных волн. Получена частотная зависимость коэффициентов трансформации энергии падающей волны Рэлея в энергию рассеянных во всех направлениях продоль-

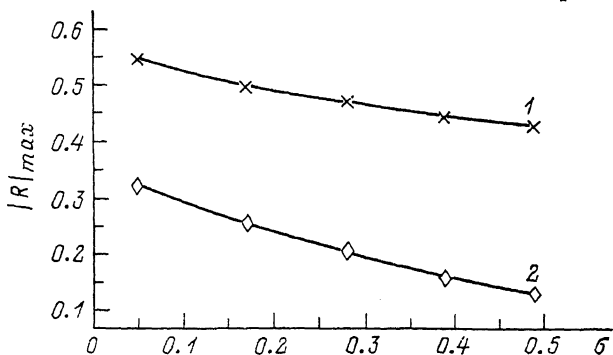


Рис. 3.

1 — случай 1, 2 — случай 2.

ных  $\eta_l$  и поперечных  $\eta_t$  объемных волн. В качестве проверки подсчитана сумма  $|R|^2 + |T|^2 + \eta_l + \eta_t$  и она оказалась равной 1 с точностью не хуже  $3 \cdot 10^{-3}$  на всех частотах, включая резонансную.

Таким образом, при рассеянии волны Рэлея на резонаторе взаимодействие в резонансной частоте оказывается очень сильным и коэффициент отражения волны  $|R|$  может достигать величины 0.4—0.5 в достаточно широкой полосе частот ( $\approx 40\%$ ).

В приборах и устройствах на ПАВ такие элементы могут служить в качестве локальных отражателей (зеркал). По-видимому, именно возбуждение внутренних резонансов наблюдалось недавно [8] в элементах с большим «эффектом накопления энергии».

#### Список литературы

- [1] Maradudin A. A., Reyan P., McGurn A. R. // Phys. Rev. B. 1988. Vol. 38. N 5. P. 3068—3074.
- [2] Maradudin A. A., McGurn A. R. // Phys. Rev. B. 1989. Vol. 39. N 12. P. 8732.
- [3] Maradudin A. A. // Resent Dev. Surface Acoust. Waves. Proc. Eur. Mech. Colloq. N 226. Berlin, 1988. P. 100—128.
- [4] Ландау Л. Д., Лифшиц Е. М. Теория упругости. М.: Наука, 1965.
- [5] Новацкий В. Теория упругости. М.: Мир, 1975. С. 700—711.
- [6] Красильников В. А., Крылов В. В. Введение в физическую акустику. М.: Наука, 1984.
- [7] Гуляев Ю. В., Плесский В. П. // УФН. 1989. Т. 157. № 1. С. 88—89.
- [8] Yatanouchi K., Meguro T., Chen Z. H. // Proc. IEEE Ultrasonics Symp. 1987. P. 173—176.

Институт радиотехники и электроники  
АН СССР  
Фрязинская часть  
Московской обл.

Поступило в Редакцию  
26 ноября 1990 г.